

## Fe-Zr-B-Ag 연자성 박막의 제조 및 구조분석

민복기, 이원재, 송재성, 허정석, 김현식  
한국전기연구소 신소재융합연구그룹

### Structural determination of Fe-Zr-B-Ag Soft Magnetic Thin Films

B.K.Min, W.J.Lee, J.S.Song, J.S.Heo, H.S.Kim  
Advanced Electrical Materials Group, KERI

**Abstract** - MHz영역에서 사용 가능한 Fe계 연자성 재료를 초미세 결정립으로 제조하기 위해  $Fe_{93}Zr_3B_4$  박막을 기본조성으로 하여 Fe와 비교용이며 약반자성인 Ag 원소를 0, 3, 4, 5, 6, 10 at.%첨가시킨  $Fe_{93-x}Zr_3B_4Ag_x$  박막을 DC 마그네트론 스퍼터링법으로 제조하였다. 그리고, 300~600°C 온도 범위에서 1시간동안 열처리한 후 강제공냉법으로 냉각한 후 XRD를 이용하여 열처리온도 및 Ag 첨가량에 따른 결정상 동정을 조사하였다. Ag가 첨가되지 않은  $Fe_{93}Zr_3B_4$  박막의 경우  $\alpha$ -Fe의 (110) 피크만 관찰되었다. Ag가 첨가된 경우에는, Ag의 양이 증가함에 따라  $\alpha$ -Fe 결정상의 형성이 억제되고, 비정질형태의 broad한  $\alpha$ -Fe(110) 피크와 Ag피크가 관찰되었다. Ag가 첨가된 As-deposited 시편을 열처리 할 경우 박막의 비정질화로 주 peak인  $\alpha$ -Fe 피크의 강도가 현저히 낮아지고 상대적으로 Ag peak가 두드러졌다. Ag의 양이 3a/o인 경우는 열처리온도 400°C 이상에서 박막의 결정화로  $\alpha$ -Fe peak가 나타나고 상대적으로 Ag 구성원소의 피크의 강도는 현저하게 낮아졌다. 또한, Ag의 양 증가 할수록 As-deposited 박막 내에 Ag 구성원소의 피크의 강도는 증가하여  $\alpha$ -Fe와 Ag가 서로 비교용 상태로 서로 혼재되어 있었다.

### 1. 서 론

오늘날 자기소자의 고성능화, 소형화를 위해 박막재료 설계 및 제조공정을 변화시켜 새로운 연자성 박막 재료를 개발하기 위한 연구가 활발히 진행되고 있다.[1]

1980년 중반에서는 금냉용고방식(rapid thermal annealing process)을 이용하여 Fe-Si-B합금과 같이 비정질상으로 제조하여 수 kHz의 영역에서 자석 재료로 실용화하였다. 그러나 이러한 비정질 합금은 낮은 포화자화와 낮은 투자를 위해 연자기 특성이 우수하지는 않으며,[2] 또한 비정질 합금의 열적 안정성의 문제로 응용에 많은 제약이 있다.

이러한 단점을 극복하기 위해 1980년 후반에는  $FeNbCuSiB$ 과  $FeZrBCu$ 합금을 결정화 온도이상에서 열처리하여 미세한 Fe 결정만 석출시킨 초미세 결정립 합금은 높은 포화 자화와 높은 투자를 특성을 가지지만 이러한 초미세 결정립 박막은 박막 자기소자의 자석재료로 응용할 경우 600°C 이상의 고온 열처리 공정이 필요하므로 실제 응용하기가 어렵다. 따라서 박막 자기소자의 자석재료로 응용하기 위해서는 저온 열처리 공정으로도 우수한 연자성을 나타내는 재료가 필요하다.[3]

지금까지 Fe계 연자성 합금에 대해서는 결정질 합금, 비정질 합금, 초미세 결정립 합금 순으로 연구가 진행되어 왔다. 금냉용고방식에 의한 비정질화 연구는 상당히 많은 연구가 되어 왔고( $76\text{ a/o} \leq Fe \leq 88\text{ a/o}$ ), 또한 비정질상과 결정질상이 혼재되어 있는 영역에서의 연구도 많이 진행되어 왔다. 그러나 결정상만이 존재하는, Fe가 93 a/o 이상 함유된 합금에서의 첨가원소 함량에 따른 결정 구조 및 특성에 대한 연구는 부족한 실정이

다. 본 연구진에서는 연자성 특성이 우수한 것으로 알려진  $Fe-Zr-B$  합금( $Fe$ 93 a/o)에 첨가원소로써 Fe와 그 결정구조가 다르고 고용이 잘 되지 않는 것으로 알려진, 약반자성 원소인 Ag를 첨가함으로써 연자성 특성의 향상을 꾀하고자 하는 연구를 수행하고 있으며, 이러한 특성의 변화는 그 합금의 결정구조와 밀접한 관계가 있으므로 그에 대한 연구를 병행하고 있다.

본 연구에서는 Ag 첨가량 및 열처리 온도에 따른  $FeZrBAg$  합금 상의 결정학적 거동을 조사함으로써 비정질, 결정질 또는 초미세결정상 등의 상변화를 파악하고자 하였다.

### 2. 실험 방법

본 연구에서는  $FeZrB$ 과  $FeZrBAg$  박막을 제조하기 위해 DC 마그네트론 스퍼터링 장치를 이용하였으며, 타겟트는 직경이 4"인  $Fe_{87}Zr_7B_6$  합금 위에 Ag 소면을 장착하여  $Fe_{93-x}Zr_3B_4Ag_x$  박막을 복합 타겟트 방식으로 (001) 방향으로 배향된 Si-wafer 위에 초기진풍도는  $3 \times 10^{-6}$  torr 이하로 하고, Ar 유량을 12.5cc/min으로 일정하게 유지 한 상태에서 0.5  $\mu m$ 정도의 두께로 증착하였다. Ag의 첨가량은 Ag 소면의 갯수로 조절하였다. 또한 본 연구에서는  $FeZrBAg$  비정질 박막을 얻기 위해서 증착시 기판을 수냉하였으며, 증착된  $Fe_{93-x}Zr_3B_4Ag_x$  박막의 Ag 첨가량과 열처리에 따른 특성 변화를 관찰하기 위하여 전공 열처리 장치를 이용하여 진풍도를  $10^{-6}$  torr 이하로 한 후,  $10\text{ }^{\circ}\text{C}/\text{min}$ 의 습은 속도로 300~600°C의 온도 범위에서 1시간 동안 열처리(non-field annealing, NFA)를 행한 후 fan을 이용하여 강제로 상온까지 냉각시켰다. 증착된 박막의 결정구조 특성은 x-선 회절분석기(x-ray diffractometer) 이용하여 열처리 온도에 따른 박막의 결정구조를 분석하였다.

### 3. 실험 결과 및 고찰

그림 1은 Ag함량에 따른  $Fe_{93-x}Zr_3B_4Ag_x$  박막의 XRD 분석 결과이다. 먼저, Ag가 첨가되지 않은 경우 금냉용고법에 의해 제조된 비정질 합금의 상태도에서도 추정할 수 있듯이[4]  $Fe_{93}Zr_3B_4$  조성은 결정이 형성되는 영역에 포함되어 있었다.

Ag를 첨가한 경우  $\alpha$ -Fe의 결정성이 흐트러져서, (110) peak가 비정질화되는 경향을 보였고, Ag는 Fe 내에 고용한이 극히 작으므로 Ag가 Fe 내에 고용되지 않고 석출되어 있는 것으로 판단되어진다. Ag의 양이 증가할수록  $\alpha$ -Fe (110) peak는 더욱 broad화되고 있다.  $Fe_{83}Zr_3B_4Ag_{10}$  박막의 경우 45°부근의  $\alpha$ -Fe 주 peak는 사라졌다. 이것은 Ag가 Fe-Zr-B계에 첨가됨으로써  $\alpha$ -Fe의 결정성의 결합을 분해시키는 경향을 갖고 있다고 말할 수 있다.

그림 2는  $Fe_{93}Zr_3B_4$  박막의 경우 열처리온도에 따른 주 peak  $\alpha$ -Fe의 거동을 보여주는 XRD 분석 결과이

다. 주 peak 강도의 변화는 없다. Ag가 3 at.% 첨가된 경우, 그림 3에서 보여주듯이 as deposition와 300 °C 열처리한 박막시편에서  $\alpha$ -Fe의 peak가 Ag첨가로 broad화되어 비정질 경향을 보이는 관계로 상대적으로 Ag peak가 뚜렷하게 보인다. 그러나, 박막의 결정화로 400°C 이상에서는 박막 matrix의 주 peak인  $\alpha$ -Fe의 강도가 Ag peak에 비하여 상대적으로 크게 나타나고 있다.

$Fe_{93}Zr_3B_4Ag_4$  박막의 경우(그림4) 박막의 결정화로  $\alpha$ -Fe의 peak의 출현온도가 Ag가 3 at.% 첨가된 경우와 같이 400°C 정도이었다. 여기서, Ag의 peak가 broad하지만 열처리온도 400°C, 500°C에 걸쳐 뚜렷하다가 600°C에서  $\alpha$ -Fe의 Ag peak에 대한 상대적 강도가 훨씬 커 보인다.

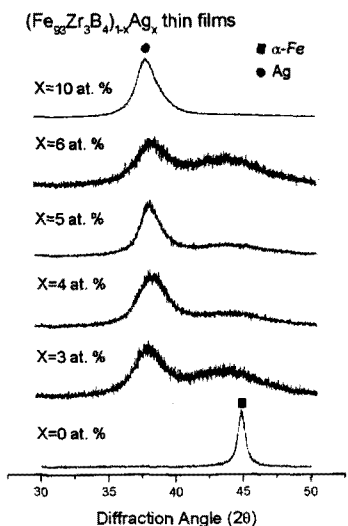


Fig. 1. Change in XRD patterns of  $Fe_{93-x}Zr_3B_4Ag_x$  thin films on Si(001) substrates with variation of Ag composition, x.

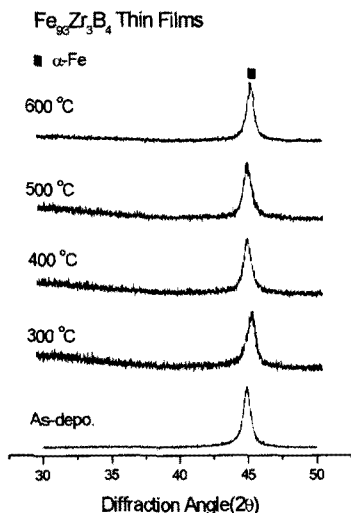


Fig. 2. Change in XRD patterns of  $Fe_{93}Zr_3B_4$  thin films on Si(001) substrates as a function of annealing temperature

$Fe_{93}Zr_3B_4Ag_5$  박막의 경우(그림5)는 Ag가 4 at.% 첨가된 경우와 유사한 경향을 보여주고 있다.

그러나, Ag가 6 at.% 첨가된 경우(그림6) 400°C에서 박막의 주 peak인  $\alpha$ -Fe가 나타나다가 600°C까지 열처리하여도 Ag peak가 사라지지 않고  $\alpha$ -Fe peak와 더불어 상당량 존재되어 있음을 알 수 있다.

Ag가 10 at.%의 경우에는 (그림7) as deposition 상태에서부터 Ag peak이 박막의 결정질 주 peak로 나타났다. 열처리함에 따라  $\alpha$ -Fe peak가 나타나지만 상대적으로 앞에서 상술한 Ag가 3, 4, 5, 6 at.% 첨가된 경우의 XRD 분석결과와는 달리  $\alpha$ -Fe peak의 강도가 낮게 나타나고 있다.

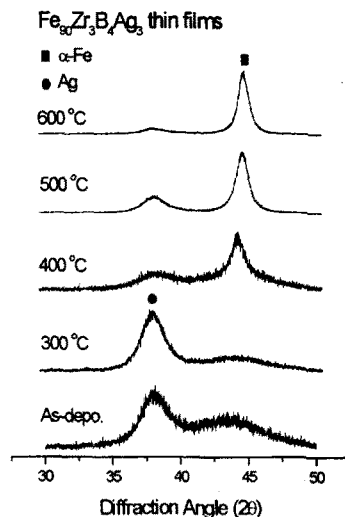


Fig. 3. Change in XRD patterns of  $Fe_{93}Zr_3B_4Ag_3$  thin films on Si(001) substrates as a function of annealing temperature

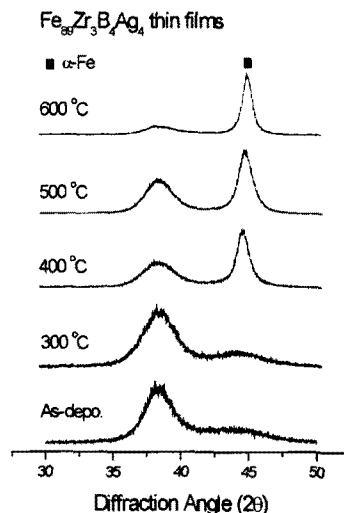


Fig. 4. Change in XRD patterns of  $Fe_{93}Zr_3B_4Ag_4$  thin films on Si(001) substrates as a function of annealing temperature

-Fe의 주피크(110)가 관찰되었다.

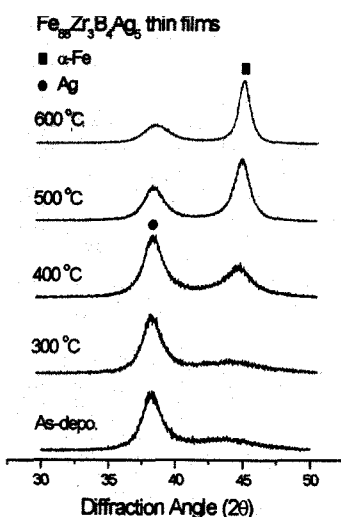


Fig. 5. Change in XRD patterns of  $\text{Fe}_{88}\text{Zr}_3\text{B}_4\text{Ag}_5$  thin films on Si(001) substrates as a function of annealing temperature

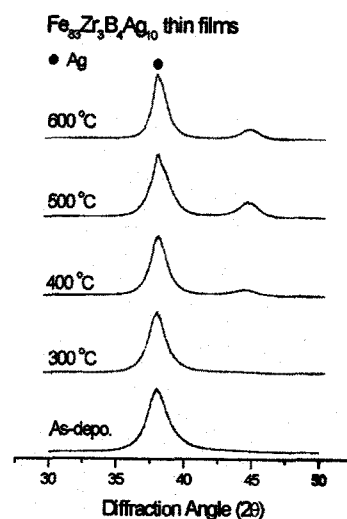


Fig. 7. Change in XRD patterns of  $\text{Fe}_{85}\text{Zr}_3\text{B}_4\text{Ag}_{10}$  thin films on Si(001) substrates as a function of annealing temperature

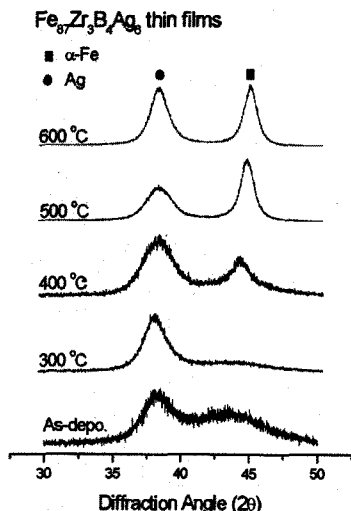


Fig. 6. Change in XRD patterns of  $\text{Fe}_{87}\text{Zr}_3\text{B}_4\text{Ag}_6$  thin films on Si(001) substrates as a function of annealing temperature

### 3. 결 론

$\text{Fe}_{93}\text{Zr}_3\text{B}_4$  비정질 합금을 기본조성으로 하여  $\text{Fe}$ 와 비교용원소인  $\text{Ag}$ 를 0, 3, 4, 5, 6 at.%첨가시킨  $\text{Fe}_{93-x}\text{Zr}_3\text{B}_4\text{Ag}_x$  비정질 박막을 DC 마그네트론 스퍼터링법으로 제조한 후 열처리한 시편의 결정구조적 특성을 XRD를 이용하여 조사한 결과 다음과 같은 결론을 얻었다.

- 1).  $\text{Ag}$ 가 첨가되지 않은  $\text{Fe}_{93}\text{Zr}_3\text{B}_4$  박막의 경우  $\alpha$

2)  $\text{Ag}$ 가 첨가된 경우에는,  $\text{Ag}$ 의 양이 증가함에 따라  $\alpha$ -Fe 결정상의 형성이 억제되고, 비정질화의 broad한  $\alpha$ -Fe<sub>(110)</sub> 피크와 Ag피크가 관찰되었다.

3)  $\text{Ag}$ 가 첨가된 As-deposited 시편을 열처리 할 경우 박막의 비정질화로 주 peak인  $\alpha$ -Fe 피크의 강도가 현저히 낮아지고 상대적으로 Ag peak가 두드러졌다.

4)  $\text{Ag}$ 의 양이 증가할수록 As-deposited 박막 내에 Ag 구성원소의 피크의 강도는 증가하여  $\alpha$ -Fe와 Ag가 서로 비교용 상태로 서로 혼재되어 있었다.

### (참 고 문 헌)

- [1] H. Hayakawa, T. Hatanai, A. Makino, K. Yamasawa : 日本電氣學會マグネティックス研究會 MAG-96-161, 25(1997)
- [2] 김현식, 김병걸, 송재성, 오영우, "Fe87Zr7B5Ag1 비정질 합금의 연자기 특성", 한국자기학회지, 5, 8(1995)
- [3] 민복기, 김현식, 송재성 "고투자율, 고포화자화 FeZrBAg 연자성박막의 자기적 특성", 한국자기학회지, 9, 6(1999)
- [4] K. Suzuki, N. Kataoka, A. Inoue, A. Makino, T. Masumoto : "High Saturation Magnetization and Soft Magnetic Properties of bcc Fe-Zr-B Alloys with Ultrafine Grain Structure" Materials Transactions, JIM, Vol. 31, No. 8 (1990)